



БИООРГАНИЧЕСКАЯ ХИМИЯ

том 9 * № 5 * 1983

УДК 577.152.611*20'134

ИССЛЕДОВАНИЕ ТОПОГРАФИИ АКТИВНЫХ ЦЕНТРОВ ФЕНИЛАЛАНИЛ-тРНК — СИНТЕТАЗЫ ИЗ *E. coli* MRE-600 С ПОМОЩЬЮ АНАЛОГОВ АТР, ПРОИЗВОДНЫХ ПОЛИМЕТИЛЕНДИАМИНОВ

Невинский Г. А., Зыков С. А., Лаврик О. И.

Новосибирский институт органической химии
Сибирского отделения Академии наук СССР

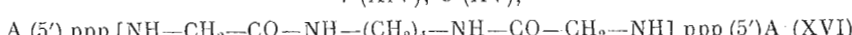
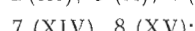
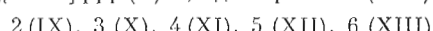
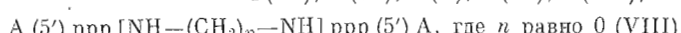
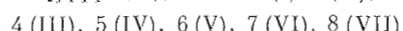
Исследовано взаимодействие монофункциональных производных АТР структуры $[NH_2-(CH_2)_n]pppA$ ($n=2-8$) и бифункциональных аналогов АТР структуры $A(5')ppp[NH-(CH_2)_n-NH]ppp(5')A$ ($n=0,2-8$), а также $A(5')ppp[NH-CH_2-CO-NH-(CH_2)_4-NH-CO-CH_2-NH]ppp(5')A$ с фенилаланил-тРНК-синтетазой из *E. coli* MRE-600. Показано, что все монофункциональные аналоги АТР являются смешанными ингибиторами по отношению к АТР и имеют близкие величины констант ингибирования (0,6–1 мМ). Все бифункциональные аналоги АТР проявляют конкурентный по отношению к АТР тип ингибирования, и их сродство к ферменту в 2–9 раз выше, чем у АТР. Максимальное сродство к синтетазе имеют бис-АТР-производные октаметилендиамина и N,N' -бис-(аминоацетил)тетраметилендиамина (K_1 23–26 мКМ). Высказано предположение, что расстояние между центрами связывания АТР с функциональным димером синтетазы близко к 28–30 Å.

Аминоацил-тРНК-синтетазы разной специфичности и из различных источников имеют разную субъединичную структуру (α , α_2 , $\alpha\beta$, α_4 , $\alpha_2\beta_2$) [1]. Поскольку большинство из них — функциональные димеры, возник вопрос о роли взаимодействия двух активных центров для катализа и специфичности этой группы ферментов.

Одним из наиболее информативных методов исследования структуры ферментов является метод рентгеноструктурного анализа. В настоящее время удалось закристаллизовать только несколько аминоацил-тРНК-синтетаз [1–3]. Поэтому применение метода рентгеноструктурного анализа к исследованию синтетаз ограничено. Кроме того, структура ферментов в кристаллах и растворе может различаться [3]. В связи с этим для понимания механизмов катализа необходимо сравнение данных, полученных для ферментов в кристаллах и растворе.

В работе [3] с помощью метода рентгеноструктурного анализа для тирозил-тРНК-синтетазы из *B. stearothermophilus* было оценено расстояние между «нуклеотидными складками» функционального димера — 30 Å (структура фермента α_2). Для проведения подобных измерений в растворе представляется перспективным использовать бифункциональные производные АТР и аминокислот, где две молекулы субстрата связаны «мостики» различной длины. Такие аналоги также могут позволить выявить кооперативность в связывании субстратов.

Ранее в работе [4] нами был описан синтез аналогов АТР:



В данной работе изучено взаимодействие этих соединений с фенилаланил-тРНК-синтетазой структуры $\alpha_2\beta_2$.

Таблица 1

Ингибиование реакции аминоацилирования тРНК, катализируемой фенилаланил-тРНК-синтетазой, монофункциональными аналогами АТР

Число метиленовых звеньев в аналоге (соединение)	K_i , мМ*	K_i / K_m
2 (I)	0,61	2,8
3 (II)	0,85	3,9
4 (III)	0,96	4,4
5 (IV)	0,76	3,5
6 (V)	0,74	3,4
7 (VI)	0,7	3,2
8 (VII)	0,71	3,2

* Определяли ингибиование по отношению к АТР. Для расчета использовали 4–6 величин констант. Ошибка определения отношения K_i / K_m не превышала 10–15%.

Таблица 2

Ингибиование реакции аминоацилирования тРНК, катализируемой фенилаланил-тРНК-синтетазой, бифункциональными аналогами АТР

Число метиленовых звеньев в аналоге (соединение)	K_i , мМ*	K_i / K_m
0 (VIII)	0,136	0,61
2 (IX)	0,124	0,56
3 (X)	0,076	0,34
4 (XI)	0,056	0,25
5 (XII)	0,088	0,40
6 (XIII)	0,078	0,35
7 (XIV)	0,104	0,47
8 (XV)	0,026	0,12
(XVI)	0,024	0,11

* Определяли ингибиование по отношению к АТР. Для расчета использовали 4–6 величин констант. Ошибка определения отношения K_i / K_m не превышала 10–15%.

Учитывая возможность влияния длины «мостика» на средство аналогов АТР к ферменту, сначала исследовали взаимодействие с синтетазой монофункциональных производных (I)–(VII).

Было показано, что соединения (I)–(VII) не проявляют субстратных свойств. Это согласуется с отсутствием субстратных свойств у γ -амилидов АТР в случае фенилаланил-тРНК-синтетазы [5–6]. Из рис. 1 видно, что (5-аминопентил)- γ -амид АТР проявляет смешанный по отношению к АТР тип ингибиования. Аналогичный результат получен при исследовании других монофункциональных аналогов АТР – производных полиметилендиаминов (I)–(VII). Величины констант ингибиования для этих соединений приведены в табл. 1.

Как видно из табл. 1, какой-либо отчетливо выраженной зависимости величин K_i от длины углеводородного радикала при γ -фосфате АТР нет. Небольшое уменьшение средства к ферменту аналогов (I)–(VII) по сравнению с АТР согласуется с результатами, полученными для других производных АТР, модифицированных по γ -фосфату [6].

При нейтральных значениях pH свободная аминогруппа в аминоакил- γ -амидах АТР (I)–(VII) протонирована и способна образовывать внутренние соли с остатками фосфата АТР [4]. В результате эффективный отрицательный заряд молекул аналогов уменьшается на единицу, и в определенном приближении эти соединения можно рассматривать как аналоги ADP. Известно, что β -амиды ADP взаимодействуют с аминоацил-тРНК-синтетазами, проявляя смешанный по отношению к АТР тип ингибиования, причем ингибиование наблюдается только при достаточно высоких концентрациях аналогов (>1 мМ). В случае производных АТР, эффективно взаимодействующих с синтетазами в концентрациях 0,01–0,5 мМ, обычно наблюдается конкурентный по отношению к АТР тип ингибиования [5–7]. Проявление смешанного по отношению к АТР типа ингибиования при высоких концентрациях нуклеотидов, как было показано в работах [5–7], скорее всего связано с их взаимодействием не только с АТР-связывающими участками каталитического центра синтетаз, но и с эффекторными нуклеотидсвязывающими участками этих ферментов [5–7]. Смешанный тип ингибиования, проявляемый монофункциональными аналогами АТР (I)–(VII), по-видимому, также обусловлен их взаимодействием с двумя типами нуклеотидсвязывающих участков фенилаланил-тРНК-синтетазы. Близкие величины K_i для всех исследованных моноамидов АТР (табл. 1) в целом могут указывать на несущественное значение длины радикала при γ -фосфате АТР для образования комплекса с ферментом.

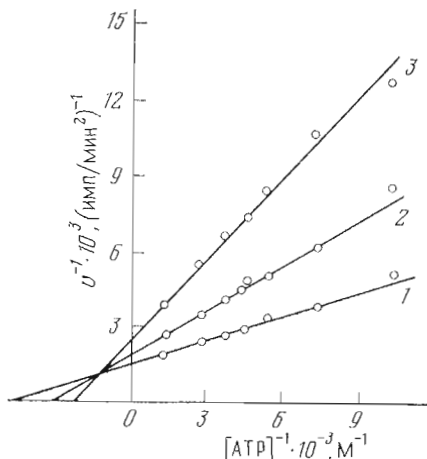


Рис. 1

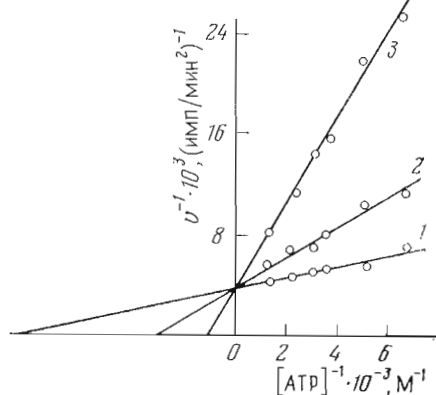


Рис. 2

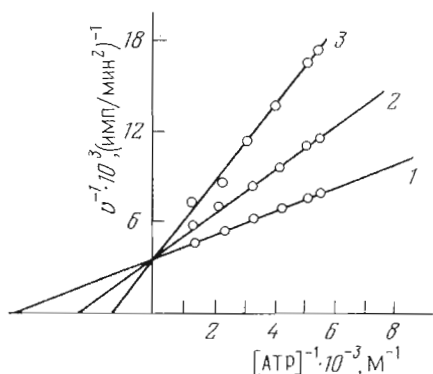


Рис. 3

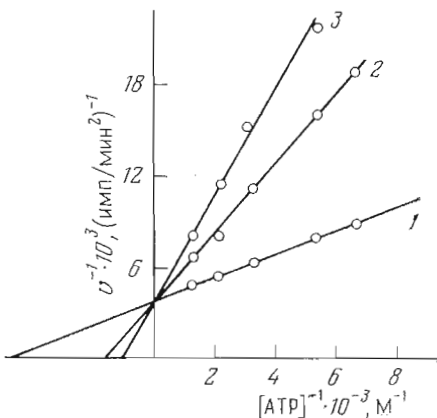


Рис. 4

Рис. 1. Зависимость начальной скорости реакции аминоацилирования тРНК^{Phe} от концентрации АТР в отсутствие (1) и в присутствии 0,9 мМ (2) и 1,5 мМ (3) (5-аминопентил)-γ-амида АТР (IV) в обратных координатах

Рис. 2. Зависимость начальной скорости реакции аминоацилирования тРНК^{Phe} от концентрации АТР в отсутствие (1) и в присутствии 0,17 мМ (2) и 5,3 мМ (3) производного тетраметилендиамина (XI) в обратных координатах

Рис. 3. Зависимость начальной скорости реакции аминоацилирования тРНК^{Phe} от концентрации АТР в отсутствие (1) и в присутствии 0,047 мМ (2) и 0,13 мМ (3) производного октаметилендиамина (XV) в обратных координатах

Рис. 4. Зависимость начальной скорости реакции аминоацилирования тРНК^{Phe} от концентрации АТР в отсутствие (1) и в присутствии 0,043 мМ (2) и 0,084 мМ (3) производного NN'-бис-(аминоацетил)тетраметилендиамина (XVI) в обратных координатах

При исследовании взаимодействия фенилаланил-тРНК-синтетазы с бифункциональными аналогами АТР (VII)–(XVI) было показано, что эти соединения, так же как и монофункциональные аналоги АТР, не обладают субстратными свойствами в реакции аминоацилирования тРНК. Оказалось, что все производные этого типа проявляют конкурентный по отношению к АТР характер ингибирования и имеют высокое сродство к ферменту (рис. 2–4, табл. 2). Сродство к ферменту аналогов (VIII)–(XVI) примерно в 2–9 раз выше сродства АТР и в 7–40 раз выше сродства монофункциональных аналогов АТР (табл. 2). В связи с этим не кажется удивительным, что бифункциональные аналоги АТР проявляют конкурентный по отношению к АТР тип ингибирования по сравнению со смешанным ингибированием в случае монофункциональных аналогов (I)–(VII). Заметный вклад в ингибирование за счет взаимодействия

нуклеотидов с эффекторными центрами наблюдается при высоких концентрациях лигандов (~ 1 мМ) [5–7], в то время как бис-АТР-производные полиметилендиаминов эффективно ингибируют реакцию аминоацилирования тРНК при концентрациях 0,01–0,1 мМ.

Увеличение сродства бифункциональных аналогов АТР (примерно в 2 раза) можно ожидать, поскольку вероятность взаимодействия бифункционального аналога с одним из центров функционального димера выше из-за удвоенного количества остатков АТР в таких соединениях [8]. По-видимому, с этим фактором связано в 2 раза большее по сравнению с АТР сродство аналогов (VIII), (IX) и (XII)–(XIV). В целом изменение величин K_1 в зависимости от длины «мостика» между двумя молекулами АТР имеет два выраженных минимума (табл. 2), соответствующих аналогам, содержащим 4 и 8 метиленовых звеньев.

Бис-АТР-производным полиметилендиаминов с линейной структурой мостиков между остатками двух аденоzinов в аналогах будут соответствовать максимально возможные расстояния между двумя нуклеозидами, которые уменьшаются в случае изогнутой конформации «мостиков». С помощью данных о длине и углах связей [9] мы оценили диапазон длин мостиков линейной структуры всего ряда синтезированных нами бифункциональных аналогов АТР между 5'-атомами кислорода остатков двух аденоzinов от 15 до 32 Å. При переходе от одного аналога к другому размер линейного мостика увеличивается примерно на 1–2 Å.

Учитывая, что фенилаланил-тРНК-синтетаза из *E. coli* имеет четыре центра связывания для нуклеотидов — два эффекторных и два каталитических участка [5–7], мы полагаем, что первый минимум в величинах K_1 может быть связан с попаданием одного из остатков АТР в АТР-связывающий участок каталитического центра фермента (что обеспечивает конкурентный характер ингибирования), а второго остатка АТР — в эффекторный центр синтетазы. Не исключена также возможность попадания второго остатка АТР в составе бифункционального аналога АТР в какой-либо участок на молекуле фермента с неопределенной функцией [6] или, что менее вероятно, в участок для связывания концевого аденоцина в составе тРНК [10]. Предполагая, что остатки аденоцина аналога АТР попадут в эти два участка, как только максимально возможный размер «мостика» между остатками аденоцина в составе аналога станет равным расстоянию между такого рода центрами, мы оценили это расстояние в 22–24 Å.

Второе, наиболее выраженное понижение в величинах K_1 (одинаковое в случае бис-АТР-производных октаметилендиамина и N,N'-бис(аминоацетил)тетраметилендиамина) скорее всего связано с одновременным взаимодействием этих аналогов АТР с двумя АТР-связывающими участками каталитических центров фермента. В пользу такого предположения говорит также конкурентный по отношению к АТР тип ингибирования и высокое сродство бис-АТР-производного октаметилендиамина в реакции АТР – [32 P]пироfosфатного обмена, катализируемой фенилаланил-тРНК-синтетазой (рис. 5). В данной реакции исключена возможность

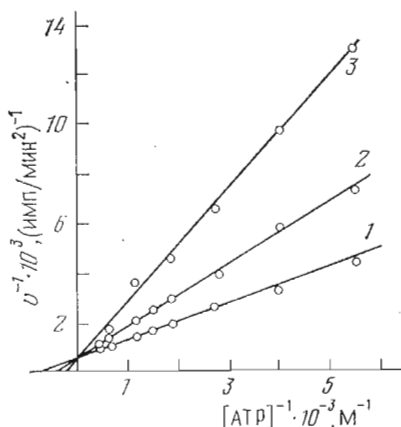


Рис. 5. Зависимость начальной скорости реакции обмена АТР – [32 P]пироfosфат от концентрации АТР в отсутствии (1) и в присутствии 0,15 мМ (2) и 0,31 мМ (3) производного октаметилендиамина (XV) в обратных координатах. Величина K_m для АТР найдена с помощью реакции обмена равной 1,5 мМ, а величина K_1 для соединения (XV) 0,12 мМ. Отношение K_m/K_1 больше 12

ингибирования катализа реакции аналогом за счет взаимодействия бис-АТР-производного диамина с тРНК-связывающим участком фермента.

Учитывая указанное выше допущение о возможности взаимодействия фермента с бис-АТР-производными полиметилендиаминов, когда последние имеют минимально изогнутую конформацию мостика между остатками аденоцина, расстояние между АТР-связывающими участками активных центров фенилаланил-тРНК-синтетазы оценено близким к 28–30 Å. Этот результат согласуется с данными о расстоянии между нуклеотидными складками тирозил-тРНК-синтетазы (30 Å), найденном с помощью метода рентгеноструктурного анализа [3]. Это особенно интересно, поскольку ферменты имеют разную субъединичную структуру (α_2 — тирозил-, $\alpha_2\beta_2$ — фенилаланил-тРНК-синтетаза).

В работе [11] показано, что диаметр отдельной субъединицы синтетазы, специфичной к тирозину, приблизительно равен 60 Å. Диаметры отдельных субъединиц других аминоацил-тРНК-синтетаз можно оценить равными 40–90 Å. Расстояние между активными центрами, равное 30–40 Å для олигомерных синтетаз, хорошо согласуется с предположением о расположении активных центров в области контакта отдельных субъединиц.

Для фенилаланил-тРНК-синтетазы из *E. coli* в работах [12–15] показано, что центр фермента, связывающий аминокислоту, расположен на малой α -субъединице, а тРНК-связывающий центр — на большой β -субъединице фермента. Акцепторный конец тРНК скорее всего локализован вблизи контакта субъединиц [14]. Данных, указывающих на возможность расположения активных центров в области контакта субъединиц, в случае других олигомерных синтетаз существенно меньше. Однако на возможность расположения центров функциональных димеров в области контакта субъединиц могут указывать несколько экспериментальных фактов. Так, отдельные субъединицы олигомерных синтетаз каталитически неактивны [1–2]. В последнее время предполагается, что для ферментов, имеющих одну полипептидную цепь, для катализа необходимо образование димерной формы, происходящее в присутствии тРНК [16].

Ранее с помощью аналогов типа A(5')pp(5')A — A(5')rrrr(5')A было установлено расстояние между АТР- и АМР-связывающими участками аденилаткиназы из мышц кролика [17] и показано, что сродство почти на два порядка выше, чем АТР и другие аналоги. В нашем случае наблюдается максимальное увеличение сродства на порядок. Это, по-видимому, объясняется тем, что АТР-связывающие центры фенилаланил-тРНК-синтетазы из *E. coli* проявляют небольшую отрицательную кооперативность. Так, в работе [6] показано, что аффинная модификация одного из АТР-связывающих центров приводит к уменьшению сродства АТР к свободному центру в 2–3 раза. Увеличение сродства, возможно, также связано с наличием у бис-АТР-производных полиметилендиаминов большого числа конформаций с изогнутой полиметиленовой цепью между двумя остатками нуклеотида, что может приводить к уменьшению эффективной концентрации бис-АТР-производного, способного взаимодействовать одновременно с двумя нуклеотидсвязывающими центрами фермента.

Экспериментальная часть

Фенилаланил-тРНК-синтетазу из *E. coli* MRE-600 (КФ 6.1.1.20) очищали согласно работе [18] с некоторыми модификациями. Использовали препараты 75–80% чистоты по данным электрофореза в полиакриламидном геле. Удельная активность препаратов 300–400 нмоль [14 C]фенилаланина в 1 мин на 1 мг белка. Суммарный препарат тРНК, полученный из *E. coli* MRE-600 согласно [19], содержал 2–2,5% тРНК^{Phe} по акцепторной активности. В работе использовали [14 C]фенилаланин (300 КИ/ммоль; UVVVR, ЧССР), АТР (Reanal, Венгрия), бычий сывороточный альбумин (Koch-Light, Англия), остальные реагенты были квалификации ос. ч.

Реакцию аминоацилирования тРНК проводили согласно [5]. Инкубационная смесь объемом 0,2–1 мл содержала 2,5 мМ MgCl₂, 50 мМ

трис-HCl-буфер (рН 8), 0,25 мкг/мл бычьего сывороточного альбумина, 1–2 мг/мл тРНК, 0,1–2 мМ АТР, 0,01 мМ [¹⁴C]фенилаланин. Реакцию запускали добавлением фермента до концентрации 1–1,5 мкг/мл. При исследовании субстратных свойств аналогов АТР (I)–(XVI) реакционная смесь вместо АТР содержала 0,1–10 мМ моно- или диамид АТР. При исследовании ингибиторных свойств аналогов их добавляли в реакционные смеси в концентрации 0,01–3,0 мМ. Аликвоты (20–70 мкл) реакционных смесей наносили на диски из бумаги FN-16 размером 2,5×2,5 см, пропитанные раствором 5% трихлоруксусной кислоты, и промывали при 4–5° С последовательно в четырех растворах 5% трихлоруксусной кислоты. Мишени сушили на воздухе и определяли их радиоактивность на счетчике Mark-III.

Реакцию обмена АТР–[³²P]пироfosфат проводили согласно [5]. Реакционная смесь объемом 0,2 мл содержала 10 мМ MgCl₂, 50 мМ трис-HCl-буфер (рН 7,8), 100 мкг/мл бычьего сывороточного альбумина, 0,05 мМ фенилаланин, 0,1–5 мМ АТР, 2 мМ [³²P]пироfosфат. Реакцию запускали добавлением 1–2 мкг/мл фермента и останавливали добавлением 5-кратного объема 5% трихлоруксусной кислоты, содержащей 1% активированного угля и 10 мМ пиросфат. Смесь тщательно перемешивали и наносили на нитроцеллюлозные диски, которые промывали 5% трихлоруксусной кислотой. Затем на фильтр наносили 0,2 мл 2% раствора поливинилового спирта. Диски сушили и определяли их радиоактивность в толуоловом сцинтилляторе на счетчике Mark-III. В случае исследования ингибиторных свойств аналогов в реакционную смесь добавляли аналоги АТР в концентрации 0,01–5 мМ.

Величины констант ингибирования определяли графически.

Авторы глубоко признательны С. Н. Ходыревой и В. Н. Анкиловой за получение препаратов фенилаланил-тРНК-синтетазы, Д. Г. Кнорре за постоянный интерес и внимание к работе.

ЛИТЕРАТУРА

1. Kisselov L. L., Favorova O. O. Advances in enzymology, 1974, v. 40, p. 141–238.
2. Igloi G. L., Cramer F. In: Transfer RNA/Ed. Altman S. Cambridge: MIT Press, 1978, p. 294–349.
3. Rubin D., Blow D. M. J. Mol. Biol., 1981, v. 145, № 3, p. 489–500.
4. Добронравова О. В., Зыков С. А., Мустаев А. А., Невинский Г. А. Биоорганская химия, 1982, т. 8, № 10, с. 1349–1357.
5. Лаврик О. И., Невинский Г. А., Рязанкин И. А. Молекулярная биология, 1979, т. 13, № 6, с. 1001–1011.
6. Невинский Г. А. Модификация аминоацил-тРНК-синтетаз химически активными аналогами нуклеотидов. Автореф. дис... канд. хим. наук. М.: МГУ, 1979.
7. Lavrik O. I., Nevinsky G. A. FEBS Lett., 1980, v. 109, № 1, p. 13–17.
8. Byers L. D. J. theor. Biol., 1978, v. 79, p. 501–512.
9. Справочник химика/Ред. Никольский Б. П. М.–Л.: Госхимиздат, 1962, с. 352–379.
10. Горшкова И. И., Дацый И. И., Лаврик О. И., Невинский Г. А. Биохимия, 1981, т. 46, № 4, с. 699–707.
11. Irwin M. J., Nyborg I., Reid B. R., Blow D. M. J. Mol. Biol., 1976, v. 105, № 3, p. 577–587.
12. Лаврик О. И., Ходырева С. Н. Биохимия, 1979, т. 44, вып. 3, с. 570–571.
13. Власов В. В., Лаврик О. И., Мамаев С. В., Ходырева С. Н., Чижиков В. Е., Швалье А. Ф. Молекулярная биология, 1980, т. 14, вып. 3, с. 531–538.
14. Безнедельная Н. И., Горшкова И. И., Лаврик О. И., Ходырева С. Н. Биоорганская химия, 1981, т. 7, № 6, с. 876–883.
15. Lavrik O. I., Moor N. A., Khodyreva S. N. Mol. Biol. Reports., 1982, v. 8, p. 123–126.
16. Parfait R. Eur. J. Biochem., 1973, v. 38, № 3, p. 572–580.
17. Lienhard G. E., Secemski J. I. J. Biol. Chem., 1973, v. 248, № 3, p. 1121–1123.
18. Stulberg M. P. J. Biol., 1967, v. 242, № 5, p. 651–682.
19. Сандакчев Л. С., Старостина В. К., Стефанович Л. Е., Чучбаев В. М. Молекулярная биология, 1967, т. 1, № 4, с. 463–466.

Поступила в редакцию
9.III.1982
После доработки
12.XI.1982

PHENYLALANYL-tRNA SYNTHETASE FROM *E. COLI* MRE-600 INVESTIGATION
OF ACTIVE CENTER TOPOGRAPHY
BY ATP POLYMETHYLENEDIAMINE DERIVATIVES

NEVINSKY G. A., ZYKOV S. A., LAVRIK O. I.

*Novosibirsk Institute of Organic Chemistry, Siberian Branch
of the Academy of Sciences of the USSR, Novosibirsk*

Interaction of monofunctional ATP derivatives, $[\text{NH}_2-(\text{CH}_2)_n]\text{pppA}$ ($n=2-8$), and bifunctional ATP derivatives, $\text{A}(5')\text{ppp}[\text{NH}-(\text{CH}_2)_n-\text{NH}]\text{ppp}(5')\text{A}$ ($n=0$ or $2-8$) with phenylalanyl-tRNA synthetase from *E. coli* MRE-600 was investigated. The monofunctional ATP derivatives behave as mixed-type inhibitors with respect to ATP (K_1 values about 0,6–1,0 mM). All bifunctional ATP analogs manifest competitive inhibition towards ATP with the affinity 2–9 times higher than ATP. The highest affinity was observed for bis-ATP derivatives of octamethylenediamine and N,N'-bis-(aminoacetyl)tetramethylenediamine (K_1 0,023–0,026 mM). From these data the distance between the ATP-binding sites of functional dimer may be assumed to be 28–30 Å.